

*С.Г. Головина, Е.В. Захаров*

## **ЧИСЛЕННЫЙ МЕТОД РЕШЕНИЯ СИСТЕМЫ ИНТЕГРАЛЬНЫХ УРАВНЕНИЙ ДЛЯ ОПРЕДЕЛЕНИЯ ГРАНИЦ ЛОКАЛЬНЫХ НЕОДНОРОДНОСТЕЙ.\***

### **Введение**

В настоящее время большой интерес представляют обратные задачи для уравнения Гельмгольца в трехмерной среде, решение которых сводится к построению численных методов [1-3].

В работах [4-5] авторами были рассмотрены задачи определения границы неоднородности в однородной среде. В работе [6] был рассмотрен метод акустического частотного зондирования для решения обратной задачи определения границ локальных неоднородностей в однородной среде по измерениям в ограниченной области расположения приемников отраженного от неоднородностей волнового поля, возбуждаемого точечным источником в многочастотном случае. Для уравнения Гельмгольца в трехмерной однородной среде, содержащей несколько локальных неоднородностей с гладкой поверхностью разной формы, была поставлена и решена обратная задача методом интегральных уравнений.

В данной работе рассмотрено построение численного метода решения системы интегральных уравнений для решения обратной краевой задачи для уравнения Гельмгольца. Метод основан на использовании интегральных уравнений Фредгольма первого и второго рода и применим к определению границ неоднородностей произвольной формы. Построен итерационный метод решения обратной задачи, приводятся результаты вычислительного эксперимента.

### **1. Постановка задачи**

В области  $\Omega_f$  расположены источники первичного поля, которое задается формулой: 
$$v_0(M, \omega) = \int_{\Omega_f} G(M, P, \omega) f(\omega) \delta(P - M_f) dP,$$
 где  $\delta(\cdot)$  - дельта-функция Дирака,  $f(\omega)$  - амплитуда поля.

---

\* Работа выполнена при частичной финансовой поддержке РФФИ, код проекта 17-01-00525.

Задача определения границ неоднородностей произвольной формы может быть сведена к системе интегральных уравнений [4-7]:

$$v_i(M, \omega) = v_0(M, \omega) + \omega^2 \int_{\Omega_i} G(M, P_i, \omega) \bar{c}_i(P_i) v_i(P_i, \omega) dP_i, \quad i=1, \dots, N, \quad (1)$$

где  $G(M, P, \omega) = \frac{1}{4\pi R(M, P)} \exp\left(i \frac{\omega}{c_0} R(M, P)\right)$  - функция Грина,

$R(M, P) = \sqrt{(x-x_0)^2 + (y-y_0)^2 + (z-z_0)^2}$  - расстояние между точками  $M(x, y, z)$  и  $P(x_0, y_0, z_0)$ ,  $v(M, \omega)$  - поле в среде, зависящее от пространственной переменной  $M(x, y, z) \in R^3$  и частоты  $\omega$ .

Полное поле можно представить как сумму первичного и вторичных полей

$$v(M, \omega) = v_0(M, \omega) + \sum_{i=1}^N v_i(M, \omega), \quad i=1, \dots, N.$$

В однородной среде  $\Omega_0$ , в которой скорость распространения волн  $c_0$ , содержатся односвязные области  $\Omega_i \in R^3$ ,  $i=1, \dots, N$ , с границами  $\partial\Omega_i$ ,  $i=1, \dots, N$ , которые не имеют общих точек. В областях  $\Omega_i$  определена кусочно-гладкая функция  $c_i(M)$ , где  $M(x, y, z) \in \Omega_i$ ,  $\bar{c}_i(M) = c_0^{-2} - c_i^{-2}(M)$ . В области  $\Omega_p$  расположены приемники для измерения рассеянного неоднородностями поля.

Запишем уравнение (1) отдельно для случаев, когда  $M(x, y, z)$  принадлежит локальным неоднородностям  $\Omega_i$ ,  $i=1, \dots, N$  и области расположения приемников  $\Omega_p$ :

$$\begin{cases} v_i(M, \omega) = v_0(M, \omega) + \omega^2 \int_{\Omega_i} G(M, P_i, \omega) \bar{c}_i(P_i) v_i(P_i, \omega) dP_i, & M \in \Omega_i, \\ V(M, \omega) = \omega^2 \sum_{i=1}^N \int_{\Omega_i} G(M, P_i, \omega) \bar{c}_i(P_i) v_i(P_i, \omega) dP_i, & M \in \Omega_p, \end{cases} \quad (2)$$

где  $i=1, \dots, N$ ,  $V(M, \omega) = \sum_{i=1}^N v_i(M, \omega) - v_0(M, \omega)$  - поле, измеряемое в области расположения приемников  $\Omega_p$ .

Данная система является нелинейной относительно функций  $\bar{c}_i(M)$  и

$v_i(M, \omega)$ , когда  $M \in \Omega_i, i = 1, \dots, N$ .

## 2. Численное решение обратной задачи

Обратная задача состоит в нахождении неизвестных функций  $v_i(M, \omega)$  и  $\bar{c}_i(M)$ , когда  $M \in \Omega_i, i = 1, \dots, N$ . Введем следующие обозначения интегральных операторов:

$$\begin{aligned} K_0(M) &= \int_{\Omega_f} G(M, P, \omega) f(\omega) \delta(P - M_f) dP, & P \in \Omega_f, M \in \Omega_i, \\ (K_1 \bar{c}_i v_i)(M) &= \omega^2 \int_{\Omega_i} G(M, P, \omega) \bar{c}_i(P) v_i(P, \omega) dP, & P \in \Omega_i, M \in \Omega_i, \\ (K_2 \bar{c}_i v_i)(M) &= \omega^2 \int_{\Omega_i} G(M, P, \omega) \bar{c}_i(P) v_i(P, \omega) dP, & P \in \Omega_i, M \in \Omega_p, \end{aligned} \quad (3)$$

где  $K_0 : C(\Omega_f) \rightarrow C(\Omega_i)$ ,  $K_1 : C(\Omega_i) \rightarrow C(\Omega_i)$ ,  $K_2 : C(\Omega_i) \rightarrow C(\Omega_p)$  - операторы, устанавливающие связь между первичным полем, вторичным полем и полем измерений.

Запишем систему (2) в матричном виде для каждой неоднородности:

$$A_i \begin{pmatrix} \bar{c}_i \\ v_i \end{pmatrix} = \begin{pmatrix} K_0 - v_i + K_1 \bar{c}_i v_i \\ K_2 \bar{c}_i v_i - V \end{pmatrix}, \quad i = 1, \dots, N. \quad (4)$$

Через  $w_i$  обозначим матрицу, на диагонали которой расположены элементы  $v_i$ , тогда

$$A'_i \begin{pmatrix} \bar{c}_i \\ v_i \end{pmatrix} = \begin{pmatrix} K_1 w_i & -E + K_1 \bar{c}_i \\ K_2 w_i & K_2 \bar{c}_i \end{pmatrix}, \quad i = 1, \dots, N. \quad (5)$$

При решении прямой задачи, когда дано:

- первичное поле  $v_0$ , которое облучает область  $\Omega_0$ , содержащую неоднородности  $\Omega_i, i = 1, \dots, N$ ,
- известны границы неоднородностей  $\Omega_i$  и функции  $\bar{c}_i(M)$ ,

$M \in \Omega_i, i = 1, \dots, N$ , необходимо решить интегральные уравнения Фредгольма второго рода и найти вторичные поля  $v_i(M, \omega), M \in \Omega_i, i = 1, \dots, N$ , затем вычислить значения функции  $V(M, \omega)$  в области расположения приемников  $M \in \Omega_p$  для частоты  $\omega$ .

При решении обратной задачи, когда нам известно первичное поле и поле в области расположения приемников, необходимо определить границы и расположение локальных неоднородностей в ограниченной области  $\Omega_0$ . В работе [8] предложен метод Ньютона-Гаусса для решения обратной задачи:

$$z_{n+1} = \min_{z \in H} \left\| A(z_n) + A'(z - z_n) \right\|^2 = z_n - \left( A'^* A' \right)^{-1} A'^* A,$$

где  $z$  - неизвестно.

Так как входные данные вычисляются с погрешностью, то необходимо использовать регуляризирующий метод. Для решения операторного уравнения  $Az = 0$ , применим итеративно-регуляризованный метод Ньютона-Гаусса [9], на каждом шаге которого минимизируется по  $z$  функционал:

$$\Phi(\alpha_n, z_n, z) = \left\| A(z_n) + A'(z - z_n) \right\|^2 + \alpha_n \left\| z - \xi_n \right\|^2, \quad (6)$$

где  $A = (A_1, A_2, \dots, A_n)^T$ ,  $A' = (A'_1, A'_2, \dots, A'_n)^T$ ,  $A_i, A'_i$  - операторы, которые определены в (4) и (5),  $z = [v_1(M, \omega), \dots, v_N(M, \omega), \bar{c}_1(M), \dots, \bar{c}_N(M)]^T$  - вектор неизвестных,  $\alpha_n$  - параметр регуляризации,  $\xi_n$  - некоторый элемент.

Так как оператор  $\left( A'^* A' \right)^{-1}$  может быть необратим, запишем итерационный метод в модифицированном виде:

$$z_{n+1} = z_n - \left( A'^*(z_n) A'(z_n) + \alpha_n I \right)^{-1} \left( A'^*(z_n) A(z_n) + \alpha_n (z_n - \xi_n) \right),$$

где  $z_n = [v_1^n(M, \omega), \dots, v_N^n(M, \omega), \bar{c}_1^n(M), \dots, \bar{c}_N^n(M)]^T$  - искомое приближенное решение на  $n$ -ой итерации.

Заменяя интегралы в (3) конечными суммами:

$$\int_{\Omega_i} G(M, P, \omega) \bar{c}_i(P) v_i(P, \omega) dP =$$

$$= h \sum_{j=0}^{m-1} G(M, P_j + \frac{h}{2}, \omega) \bar{c}_i(P_j + \frac{h}{2}) v_i(P_j + \frac{h}{2}, \omega),$$

где  $h$  - шаг интегрирования,  $m$  - количество точек, получим линейную систему алгебраических уравнений.

На первом шаге задается начальное приближение для функций  $\bar{c}_i^0 = 0, i = 1, \dots, N$ , верхний индекс обозначает номер итерации, далее найдем  $v_i^0$  - вторичное поле, решив уравнение  $K_1(v_i^0, \bar{c}_i^0) = 0, i = 1, \dots, N$ .

Модельные расчеты проводились для случая, когда в качестве входных данных использовалось решение прямой задачи с внесенной погрешностью 4%. Источники имели координаты  $(-170, 15, -10)$  и  $(170, 10, -10)$ , 25 приемников располагались в одной плоскости  $OXY$ . Измерения проводились на сетке приемников  $25 \times 25$ , расположенных в области  $\Omega_p = \{z = 0, -120 < x < 120, -120 < y < 120\}$ .

Исследуемая область  $\Omega_0$ , в которой располагались три тела, имела форму куба  $\Omega_0 = \{-150 \leq x \leq 150, -150 \leq y \leq 150, 100 \leq z \leq 400\}$ , размером  $300 \times 300 \times 300$ , неоднородности имели следующие размеры:

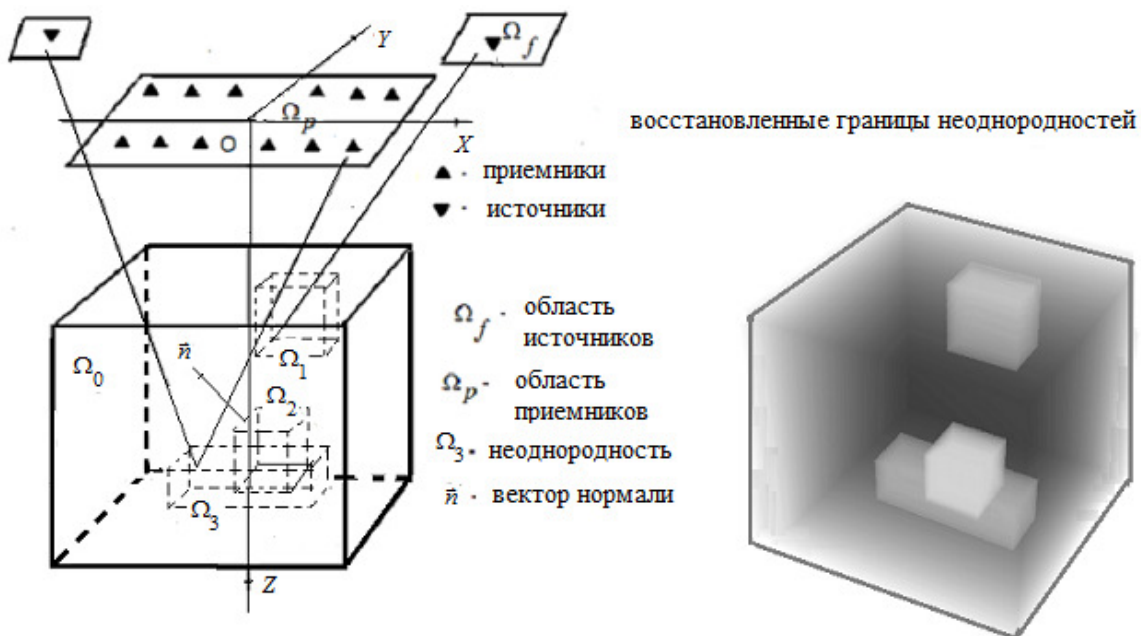


Рис.1

$\Omega_1 = \{5 \leq x \leq 65, 10 \leq y \leq 50, 120 \leq z \leq 180\}$ ,      размером      60x40x60,  
 $\Omega_2 = \{-10 \leq x \leq 30, -20 \leq y \leq 20, 250 \leq z \leq 290\}$ ,      размером      40x40x40,  
 $\Omega_3 = \{-60 \leq x \leq 60, 0 \leq y \leq 40, 310 \leq z \leq 350\}$ , размером 120x40x40, параметр  
 регуляризации  $\alpha = 0.015$ , вычисления проводились для одной частоты  
 400. На Рис. 1 изображено точное решение обратной задачи и результаты  
 вычислительного эксперимента предложенным итерационным методом.  
 Для получения искомого решения было выполнено девять итераций.

### Литература

1. *A.G. Ramm, Cong Van.* A numerical algorithm for solving 3D inverse scattering problem with non-over-determinad data. J. Appl.Math. Stat. App, Volume 2 Issue 1, 2018, pp. 11-13.
2. *M.V. Klibanov.* A Phaseless inverse scattering problem for the 3-D Helmholtz equation. Inverse Problems&Imaging, Vol.11 Issue 2, 2017, pp.263-276.
3. *M. Li, C. Chen, P. Li.* Inverse random source scattering for the Helmholtz equation in inhomogeneous media. Inverse Problems, T. 34 (2018), 015003, (19pp), <https://doi.org/10.1088/1361-6420/aa99d2>.
4. *S.G. Golovina, E.V. Zakharov.* A Numerical Way of solving the Inverse Problem for the Wave Equation in a Medium with Local Inhomogeneity. Moscow University Computational Mathematics and Cybernetics, Allerton Press Inc. (United States), Vol.41, No.4, 2017, pp.173-178.
5. *S.G. Golovina, E.V. Zakharov.* A Numerical Way of Determining the Boundaries of a System of Bodies in a Three-Dimensional Medium by Means of Integral Equations. Moscow University Computational Mathematics and Cybernetics, Allerton Press Inc. (United States), № 42(3), 2018, pp. 100-104.
6. *S.G. Golovina, E.V. Zakharov.* Determination of the bounderies of the three-dimensional nonhomogeneities by acoustic frequency sounding. Computational Mathematics and Modeling, Vol.29, No.4, October, 2018, pp.443-448.
7. *Kolton D., Kress R.* Inverse Acoustic and Electromagnetic Scattering Theory. Third ed. Vol. 93. Springer-Verlag, 2013.
8. *Бакушинский А.Б., Гончарский А.В.* Итеративные методы решения некорректных задач. М.: Наука, 1989.
9. *Бакушинский А.Б., Левитан С.Ю.* Некоторые модели и численные методы нелинейной вычислительной диагностики. //Сборник трудов ВНИИСИ АН СССР. Вып. 13. М.: Изд-во ВНИИСИ, 1991. С. 3-25.